

中国科技论文统计源期刊  
中国中文核心期刊  
中国科学引文数据库来源期刊  
中国学术期刊综合评价数据库来源期刊  
入网《万方数据-数字化期刊群》

ISSN 1006-1355  
CN 31-1346/TB

# 噪声与振动控制

## ZAOSHENG YU ZHENDONG KONGZHI

6

2013年12月

NOISE AND VIBRATION  
CONTROL

ISSN 1006-1355



9 771006 135133

中国声学学会主办  
第33卷 第6期  
Vol.33 No.6

# 目 次

## 理论与数值解法

1 超磁致伸缩驱动器自适应精密驱动控制研究	赵寅, 杨斌堂, 彭志科, 等
5 基于逆响应面法的有限元模型修正	张伟杰, 陆秋海, 缪百勇, 等
11 适用瞬态响应计算的火箭结构动力学模型修正方法	吕海波, 李明, 郭百森, 等
15 涡旋压缩机模态试验与有限元分析	杨猛, 徐新喜, 白松, 等
18 基于解析模式分解的密集工作模态参数识别	王佐才, 任伟等
25 高速主轴—夹具一刀具系统动态特性分析	柴银刚, 孟德浩, 龙新林等
31 基于逐步线性回归的汽轮发电机组振动研究	丁振军等
36 悬挂式弹簧系统跌落冲击问题的变分迭代法	宋爽, 陈安军等
40 高精密厂房中高精密平台控制仿真模拟	刘洁, 史雷, 刘红军等
45 非规则弹性片高静低动的隔振特性	殷小涛, 孟再强, 刘兴华等
49 基于回归分析与BP神经网络的风机噪声预测	程静, 王维坚等
53 基于近场声全息的声强场可视化方法	周琳娜, 陈石等
57 边界无网格技术在噪声源识别中的应用	郭文勇, 朱马龙等
62 一种基于聚类分析的护听器筛选分类方法	李付中等
66 二维复合结构声子晶体的振动特性与实验研究	何宇漾, 李晓山等
72 有限元在粘弹性细棒动力学参数反演中的应用	余虎, 侯宏亮等

## 运载工具振动与噪声

76 驾驶员行为对交通噪声的影响	朱丽颖, 李贤徽等
82 车辆过坎冲击及残余抖动主观评估关联性分析	杨万安, 王剑峰等
87 挖掘机驾驶室噪声振动特性分析与优化设计	周强, 剑刚等
91 汽车声学密封性能检测	陈志洋等
96 考虑车架柔性的刚柔耦合汽车平顺性分析	褚立军等
100 动力总成悬置系统隔振优化与工程应用	张思利等
106 基于ANSYS的多轴汽车振动响应分析	周文峰等
110 车用发电机的模态分析	陈要帅等
115 发动机油底壳的噪声分析及结构优化	成义权等
120 内燃机车司机室内部噪声特性分析	左剑伟等
124 高速列车外部流场和车内噪声模拟计算	董燕等
129 高铁高架车站候车环境噪声的数值预测	大林等
134 民用航空发动机燃烧室噪声预测	王言等
139 舰载电子设备抗冲击设计概要	燕冰等
143 螺旋桨激励力下轴系—艇体耦合系统低频声辐射特征分析	李东等

## 信号处理与故障诊断

148 差分振子时间历程在微弱调制信号检测中的应用	马朝永, 王克等
153 独立分量分析的算法分析与改进	胥永刚, 杨丽微等
158 有限元与包络解调相结合的碰撞故障诊断	吕淑平, 方兴杰等
163 一种基于层次熵和SVM的轴承故障诊断方法	马永祥等
168 含裂纹平板的振动及裂纹扩展分析	朱可恒, 宋希庚等

## 减振降噪设备与器材

172 采用试验设计方法的消声器优化设计	薛冬新等
177 不同内插管扩张式消声器声学性能分析	袁正等
180 挖掘机消声器声学性能的改进	潘国培, 黄华等
184 无纺布多孔消声进气管声学特性试验	周国伟等
188 柴油机SCR催化转化消声器的消声性能	鼎友伟等
192 扩散吸声体设计中的护面层影响研究	肖劲松, 朱伟等
197 复合型承载橡胶隔振器的综合性能	王争论, 郭荣等
201 橡胶减振器的动静比影响因素	张彬, 陈强等
207 新型压缩式橡胶挠性接管结构设计与试验	王刚, 罗伟等
211 船舶推力轴承纵向橡胶减振器设计	丁伟等

## 工程实践

216 一种燃气燃烧器噪声治理技术实例	王熙伟, 燕翔等
220 浅析220kV室内变电站的噪声控制	陈晓东, 陈锦亮等
224 离心风机减振降噪设计与应用实证	袁丽, 牛跃华等
227 大型氧化风机房通风降噪工艺实践	屈靖华等

## 广告:

封二:比利时LMS国际公司北京代表处  
封三:北京声望声电技术有限公司  
封底:上海君协光电科技发展有限公司  
插一:上海声望声学工程有限公司  
插二:上海君协光电科技发展有限公司  
插三:PCB压电传感器技术(北京)有限公司  
插四:上海环星减振器有限公司

插五:杭州爱华仪器有限公司  
插六:江苏东华测试技术股份有限公司  
插七:704所减振降噪抗冲工程中心简介  
插八:北京中科泛华测控技术有限公司  
插九:上海青浦环新减振器厂  
插十:米勒贝姆振动与声学系统(北京)有限公司  
插十一:上海静音减振器有限公司  
插十二:东方振动和噪声技术研究所

## CONTENTS

Adaptive High Precision Displacement Control for Giant Magnetostrictive Actuators	ZHAO Yin , YANG Bin-tang , PENG Zhi-ke , et al ( 1)
An Inverse Response Surface Method for Finite Element Model Updating	ZHANG Wei-jie , LU Qiu-hai , GOU Bai-yong , et al ( 5)
An Updating Method for Structural Dynamic Model Applicable for Transient Rocket Response Computation	LU Hai-bo , LI Ming , GUO Bai-sen , et al ( 11)
Modal Testing and Finite Element Analysis of Scroll Compressor's Parts	YANG Meng , XU Xin-xi , BAI Song , et al ( 15)
Parameter Identification of Closely Spaced Structural Modals Based on Analytical Mode Decomposition	WANG Zuo-cai , REN Wei-xin ( 18)
Analysis of Dynamic Characteristics of High Speed Spindle-Holder-Tool System	CHAI Yin-gang , MENG De-hao , LONG Xin-hua , et al ( 25)
Research of the Vibration of Turbine-generator Units Based on Linear Stepwise Regression	DING Zhen-lin ( 31)
Variational Iteration Method for Analyzing Dropping Shock of Suspended Spring System	SONG Shuang , WANG Lei , CHEN An-jun ( 36)
Simulation Analysis of Multi DOF Platform Control in High Precision Plant Based on Actuator Models	LIU Jie , SHI Xiao , LIU Hong-jun ( 40)
High Static Stiffness and Low Dynamic Stiffness Isolation Characteristics of Irregular Elastic Sheets	YIN Xiao-tao , MENG Zai-qiang , LIU Xing-xing , et al ( 45)
Noise Prediction of Wind Turbines Based on Regression Analysis and BP Neural Network	CHENG Jing , WANG Wei-qing , HE Shan ( 49)
Visualization of Sound Intensity Field Based on NAH	ZHOU Lin-na , LOU Jing-jun , ZHU Shi-jian ( 53)
Application of Boundary Meshless Method in Noise Source Diagnosis	GUO Wen-yong , HU Hai , MA Long ( 57)
A Sorting Method of Hearing Protectors Based on Cluster Analysis	LI Zhong-fu ( 62)
Theoretical and Experimental Study on Vibration Characteristics of Phononic Crystals with Two-dimensional Composite Structure	HE Yu-yang , JIN Xiao-xiong ( 66)
Application of Finite Element Method to Inverse Analysis of Dynamic Parameters of Viscoelastic Slender Bars	YU Hu , HOU Hong , SUN Liang , et al ( 72)
Influence of Driver's Behavior on Traffic Noise	ZHU Li-ying , LI Xian-hui ( 76)
Correlation of Subjective Evaluation and Objective Tests for Impact Hardness / Memory Shake When Vehicles Passing Speed Bumpers	YANG Wan-an , WANG Qiang , WANG Feng ( 82)
Analysis of Noise-vibration Characteristic and Optimization Design of Excavator's Cab	ZHOU Jun , CHEN Jian ( 87)
Acoustic Seal Performance Test of a Car Based on Beamforming	YANG Yang , CHU Zhi-gang ( 91)
Rigid-flexible Coupling Analysis for Ride Comfort of Car with Flexible Frame	ZHANG Li-jun , ZHAO Liang ( 96)
Optimization of Vibration Isolation of Powertrain Mounting System and Its Engineering Application	CHENG Yi-quan , CHEN Jian , ZHANG Yao-si (100)
Analysis of Vibration Response of Multi-axle Vehicle Based on ANSYS	ZHOU Wen-feng , ZUO Yan-yan , ZHOU Shuai-li (106)
Modal Analysis of Vehicle Alternator	SHANG Xiu-min , YAN Bing , DONG Da-wei , et al (110)
Noise Analysis and Structure Optimization for an Engine's Oil Pan	ZHANG Zong-cheng , YANG Jing-ling , ZHANG Yan , et al (115)
Study on Characteristics of Internal Noise of Diesel Locomotive's Cab	ZHANG Xiu-wen , LIU Yan , YANG Bing , et al (120)
Simulation of Exterior Flow Field and Interior Noise for High-speed Trains	ZHAO Jian-qiu , LU Sen-lin , ZUO Yan-yan (124)
Numerical Prediction of Interior Noise of Waiting Hall of High-speed Railway Station	TANG Xu , JIAO Ying-hou , YU Dong (129)
Noise Prediction of Civil Airplane Engine Combustor	ZHANG Dun-yu , YAN Guo-hua (134)
Outlines of Anti-shock Design for Electronic Equipments on Ships	CHEN Feng (139)
Analysis of Low-frequency Acoustic Radiation Characteristics of Shaft-hull Coupling System under Propeller Exciting Load	CHEN Fa-xiang , CHEN Yong , HUA Hong-xing (143)
Weak Modulation Signal Detection Based on Difference Oscillator Time Course	MA Chao-yong , WANG Ke , XU Yong-gang , et al (148)
Analysis and Improvement of Independent Component Analysis Algorithm	LV Shu-ping , FANG Xing-jie , YANG Li-wei (153)
Rub-impact Fault Diagnosis Based on Finite Element Method and Envelop Analysis	MA Zhong-cun , ZHANG Yong-xiang (158)
Roller Bearing Fault Diagnosis Based on Hierarchical Entropy and SVM	ZHU Ke-heng , SONG Xi-geng , XUE Dong-xin (163)
Analysis of Vibration and Crack Growth of a Cracked Plate	LIU Wen-guang , LI Jun (168)
Muffler Optimization Design with Design of Experiment Methods	YUAN Zheng , CHEN Jian (172)
Acoustic Performance Analysis of Expansion Chamber Mufflers with Different Intubation Tubes	PAN Guo-pei , YANG Bi-jun , HE Hua , et al (177)
Improvement of Acoustic Performance of an Excavator's Exhaust Muffler	ZHOU Guo-jian , HUANG Ding-you (180)
Experimental Study on Acoustic Characteristics of the Porous Muffler Tube with Non-woven Fabrics	XIAO Jin-song , GUO Rong , ZHU Wei-wei (184)
Acoustic Performance of SCR Catalytic Converter Muffler of Diesel Engines	WANG Zheng-lun , LI Bing , LU Guo-dong , et al (188)
On the Effect of Cladding in Diffuser Design	GU Lin-qiang , LUO Yi-yi (192)
Comprehensive Property of Composite Loaded Rubber Isolators	ZHANG Bin , SONG Cheng-zhi , WANG Zhi-gang , et al (197)
The Kd/Ks Influencing Factors of Rubber Isolators	YANG Jun-feng , ZHOU Xiang-rong , DING Wei (201)
Structural Design and Experiment of a New Compressed Rubber Flexible Hose	WANG Xiao-feng , ZHOU Yong , LIU Chun-lin , et al (207)
Design of Vibration Isolator in Ship's Thrust Bearing	YANG Zhi-rong , QIN Chun-yun , RAO Zhu-shi , et al (211)
A Case Study of Gas Burner Noise Control Technology	WANG Xi-wei , YAN Xiang , WANG Liang (216)
Analysis of Noise Control of a 220 kV Indoor Substation	CHEN Xiao-dong , CHEN Jin-dong (220)
Noise and Vibration Reduction Design of Centrifugal Fans and Its Application	YUAN Li , NIU Yue-hua (224)
Ventilating and Noise Reduction Practice of Oxidation Blower Workshop	ZHAO Wen-hua , WANG Neng-cheng , HE Li-hua (227)

## CoCo-80/90

便携式动态信号分析仪



### CoCo

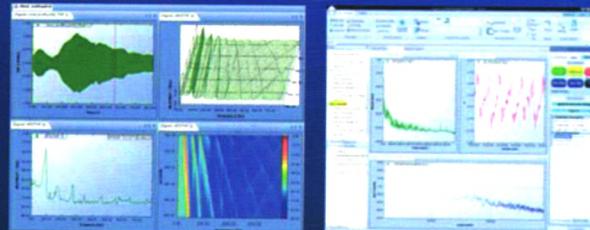
- 高品质的数据记录与动态信号分析仪
- 2/4/8/16个输入通道/1个信号源输出
- 工作时不需连接PC机。支持以太网、USB、SD卡数据通讯
- 支持AC/DC、和内置电池供电，电池工作时间>6小时。
- 手持式、小巧、轻便、5.7” 彩色液晶显示屏，重量不到1.7公斤

实时数据记录、NVH应用、振动噪声检测、  
机械状态监测、结构模态分析

- 实时数据记录速率：每通道102.4KHz，全部通道可同时记录
- 24位A/D, 130dB高动态范围
- 电压、IEPE、电荷\*、AC/DC耦合，支持TEDS\* (\* Spider支持)
- 内置信号发生器（24位D/A）：正弦、方波、三角、正弦扫频、白噪声、任意波形等
- 丰富的分析功能：时域、频谱、功率谱、FRF/Coh、相位、RMS实时滤波器、  
阈值监测、阶次跟踪、倍频程分析

## SPIDER-80

多通道动态信号分析系统



### Spider

- 模块化、可分布式或集中式布置的动态测试系统
- 4~1024输入通道数，模块间通道同步精度±1度/20KHz分析频率
- 支持与PC连机工作模式和独立的黑匣子工作模式
- 支持以太网供电(POE)、AC/DC电源。内置备份电池
- 非常紧凑和坚固的结构设计，4个模块可放入一个19” 标准1U机箱

中国区总代理：上海君协光电科技发展有限公司

网址：[www.cceochina.com](http://www.cceochina.com) ◆ 电话：021-50276536 ◆ 传真：021-50806538 ◆ 邮箱：[info@cceochina.com](mailto:info@cceochina.com)

中国区技术支持与维修站点：杭州锐达数字技术有限公司

网址：[www.hzrad.com](http://www.hzrad.com) ◆ 电话：0571-88921805 ◆ 传真：0571-88921809 ◆ 邮箱：[sales@hzrad.com](mailto:sales@hzrad.com)